

# Pesymistyczna złożoność obliczeniowa algorytmu faktoryzacji *Fact*

Lech Madeyski<sup>1</sup>, Zygmunt Mazur<sup>2</sup>

Politechnika Wroclawska, Wydział Informatyki i Zarządzania, Wydziałowy Zakład Informatyki  
Wybrzeże Wyspiańskiego 27, 50-370 Wrocław

**Streszczenie.** W artykule zaprezentowano algorytm faktoryzacji *Fact* obliczania niezawodności  $K$ -terminali sieci probabilistycznych reprezentowanych przez graf  $G = (V, E)$  z wyróżnionym podzbiorem węzłów  $K$ , jak również metodę oceny pesymistycznej złożoności tego algorytmu. Pośród algorytmów faktoryzacji najniższą złożonością pesymistyczną charakteryzuje się algorytm analizowany przez Wooda, którego liczba liści binarnego drzewa obliczeń w przypadkach granicznych, gdy  $2 \leq |K| \leq 5$  oraz  $|V| - 2 \leq |K| \leq |V|$ , nie przekracza  $(|V| - 2)!$ . Dla algorytmu *Fact* wykazemy, że maksymalna liczba liści binarnego drzewa obliczeń  $(|V| - 2)!$  jest osiągalna dla dowolnego  $K$  ( $2 \leq |K| \leq |V|$ ), a nie tylko w przypadkach granicznych. Rezultat ten uzyskano przy prostszym niż zaproponowany przez Wooda zbiorze zachowujących niezawodność redukcji grafu i nieskomplikowanej strategii selekcji krawędzi do faktoryzacji.

**Słowa kluczowe:** analiza algorytmów, algorytmy faktoryzacji, niezawodność  $K$ -terminali.

## 1. Algorytm faktoryzacji

W artykule rozpatrywany jest, powszechnie podejmowany przez badaczy, problem analizy niezawodności sieci z wykorzystaniem miar niezawodności bazujących na spójności sieci reprezentowanej poprzez probabilistyczny graf nieskierowany  $G = (V, E)$  z wyróżnionym podzbiorem węzłów  $K$  ( $2 \leq |K| \leq |V|$ ). Krawędzie grafu reprezentują łącza komunikacyjne, które ulegają wzajemnie niezależnie losowym uszkodzeniom ze znanym prawdopodobieństwem. Wśród miar oceny niezawodności sieci, najbardziej uniwersalną i powszechnie stosowaną miarą jest niezawodność  $K$ -terminali ( *$K$ -terminal network reliability*), definiowana jako prawdopodobieństwo, iż wszystkie węzły znajdujące się w zbiorze  $K$  są połączone za pomocą nie uszkodzonych łączy (mogą się komunikować).

---

<sup>1</sup> E-mail: madeyski@ci.pwr.wroc.pl.

<sup>2</sup> E-mail: mazur@ci.pwr.wroc.pl.

Spośród algorytmów znajdujących dokładne rozwiązanie problemu niezawodności  $K$ -terminali szczególnie dużo uwagi poświęcono algorytmom faktoryzacji i zachowującym niezawodność redukcjom grafu [1–13].

Algorytm faktoryzacji wykorzystuje zdarzenia elementarne sprawności lub niesprawności pojedynczej krawędzi. Stany grafu można podzielić na dwa zbiory ze względu na dwa możliwe stany krawędzi  $e_i$  o niezawodności  $p_i$ . Stąd niezawodność  $K$ -terminali można wyrazić w postaci prostej formuły niezawodności warunkowej:

$$R(G_K) = p_i R(G_K | e_i \text{ funkcjonuje}) + (1 - p_i) R(G_K | e_i \text{ nie funkcjonuje}). \quad (1)$$

Twierdzenie faktoryzacji jest topologiczną interpretacją formuły (1) dla grafów nieskierowanych.

#### **Twierdzenie 1 (Twierdzenie faktoryzacji)**

Niezawodność  $K$ -terminali sieci probabilistycznej reprezentowanej poprzez graf  $G$  z wyróżnionym podzbiorem węzłów  $K$  można wyrazić następująco:

$$R(G_K) = p_i R(G_{K'} * e_i) + (1 - p_i) R(G_K - e_i), \quad (2)$$

gdzie:

$e_i$  – dowolna krawędź grafu  $G_K$ ;

$p_i$  – prawdopodobieństwo, że łącze reprezentowane przez  $e_i \in E$  funkcjonuje;

$G_{K'} * e_i = (V - u - v + w, E - e_i)$ ,  $w = u \cup v$ ;

$$K' = \begin{cases} K & \text{jeżeli } u, v \notin K; \\ K - u - v + w & \text{jeżeli } u \in K \text{ lub } v \in K; \end{cases}$$

$G_K - e_i = (V, E - e_i)$ .

Algorytm faktoryzacji uzupełniony o funkcje redukcji grafu można opisać w postaci następującej trójki  $(\mathbf{F}_0, \mathbf{R}, \mathbf{S})$ , gdzie:

$\mathbf{F}_0$  – szkielet algorytmu obliczania niezawodności wykorzystujący twierdzenie faktoryzacji;

$\mathbf{R}$  – zbiór zachowujących niezawodność redukcji i dekompozycji grafu<sup>3</sup>;

$\mathbf{S}$  – strategia wybierania krawędzi grafu do faktoryzacji (dekompozycji problemu).

<sup>3</sup> Niektóre zachowujące niezawodność redukcje grafu przedstawiono w załączniku 1.

Spośród algorytmów faktoryzacji najniższą pesymistyczną złożonością czasową charakteryzuje się algorytm faktoryzacji opisany przez Wooda [11, 12] ( $\mathbf{F}_0, \{\mathbf{R}_1, \mathbf{R}_2, \mathbf{R}_3, \mathbf{R}_4\}, \mathbf{S}$ ), gdzie:

$$\mathbf{S} = \mathbf{S}_2 \cap \mathbf{S}_3;$$

$\mathbf{S}_2 = \{\text{Może być wybrana dowolna krawędź } e_i \in E \text{ za wyjątkiem takiej, że } |K|=1 \text{ w } G_K * e_i\};$

$\mathbf{S}_3 = \{\text{Może być wybrana dowolna krawędź } e_i \in E \text{ jeżeli } G_K * e_i \text{ i } G_K - e_i \text{ są dwuspójne i nie mają pętli własnych}\}.$

W przypadku tego algorytmu maksymalna liczba liści binarnego drzewa obliczeń  $(|V|-2)!$  jest osiągalna dla przypadków granicznych, gdy  $2 \leq |K| \leq 5$  oraz  $|V|-2 \leq |K| \leq |V|$ . Znany jest również inny algorytm faktoryzacji [8, 12], dla którego maksymalna liczba liści binarnego drzewa obliczeń jest równa  $(|V|-1)!$  dla dowolnego zbioru  $K$  ( $2 \leq |K| \leq |V|$ ).

Zaprezentowany w tym artykule algorytm faktoryzacji *Fact* ( $\mathbf{F}_0, \{\mathbf{R}_0, \mathbf{R}_1, \mathbf{R}_2, \mathbf{R}_3\}, \mathbf{S}''$ ) jest modyfikacją algorytmu faktoryzacji przedstawionego przez Page'a i Perry [3]. Dzięki zaproponowaniu nowej strategii  $\mathbf{S}''$  selekcji krawędzi do faktoryzacji, jak również nowej metody analizy pesymistycznej złożoności obliczeniowej algorytmu wykażemy, że maksymalna liczba  $(|V|-2)!$  liści binarnego drzewa obliczeń algorytmu faktoryzacji jest osiągalna dla dowolnego zbioru  $K$  ( $2 \leq |K| \leq |V|$ ), a nie tylko dla przypadków granicznych, gdy  $2 \leq |K| \leq 5$  oraz  $|V|-2 \leq |K| \leq |V|$  (jak to ma miejsce w przypadku algorytmu analizowanego przez Wooda [11, 12]). Rezultat ten uzyskano przy prostszym niż zaproponowany przez Wooda zbiorze zachowujących niezawodność redukcji grafu i nieskomplikowanej strategii selekcji krawędzi do faktoryzacji. Dokładna analiza procesu faktoryzacji w przypadku algorytmu *Fact* wykorzystującego strategię  $\mathbf{S}''$ , jak również sama strategia  $\mathbf{S}''$  selekcji krawędzi do faktoryzacji, przedstawiona jest w następnym rozdziale.

## 2. Analiza pesymistycznej złożoności obliczeniowej algorytmu faktoryzacji metodą przekształcenia do grafu pełnego

Znane z literatury metody analizy pesymistycznej złożoności algorytmów faktoryzacji wykorzystywały niezmienniki grafów [8, 12]. W przypadku analizy pesymistycznej złożoności algorytmu *Fact* zaproponowano odmienną metodę.

### 2.1. Idea przekształcenia do grafu pełnego

Mamy dowolną sieć reprezentowaną poprzez graf  $G_K$  o  $n$ -wierzchołkach. Graf  $G_K$  możemy uzupełnić do postaci grafu pełnego krawędziami reprezentującymi łącza o zerowym prawdopodobieństwie uszkodzenia. W wyniku tej operacji niezawodność  $K$ -terminali takiej sieci nie ulega zmianie. Dokonując faktoryzacji (wykorzystując określoną strategię selekcji  $\mathbf{S}$ ) na krawędziach o prawdopodobieństwie uszkodzenia  $p_i = 0$ , zamiast dwóch podproblemów (jak ma to miejsce przy faktoryzacji na krawędziach o  $p_i \neq 0$ ) otrzymujemy tylko jeden podproblem. W związku z tym liczba liści BDO algorytmu faktoryzacji wykorzystującego strategię  $\mathbf{S}$  przy rozwiązywaniu dowolnych sieci reprezentowanych przez  $G_K$ , nie będzie większa niż  $L(K_n)$ , gdzie  $K_n$  jest grafem pełnym o  $n$  wierzchołkach. Podobnie głębokość rekurencji przy rozwiązywaniu sieci reprezentowanych przez  $G_K$  nie będzie większa niż w przypadku grafu pełnego.

Jeżeli ponadto strategia  $\mathbf{S}$  selekcji krawędzi do faktoryzacji będzie tak dobrana, by miała miejsce dekompozycja problemu obliczenia niezawodności  $K$ -terminali sieci reprezentowanej przez graf pełny  $K_n$  (o  $n$  wierzchołkach) na pewną liczbę podproblemów niższego rzędu reprezentowanych poprzez grafy pełne  $K_{n-1}$ , to określenie pesymistycznej złożoności obliczeniowej rozważanego algorytmu będzie stosunkowo proste.

### 2.2. Złożoność czasowa algorytmu faktoryzacji

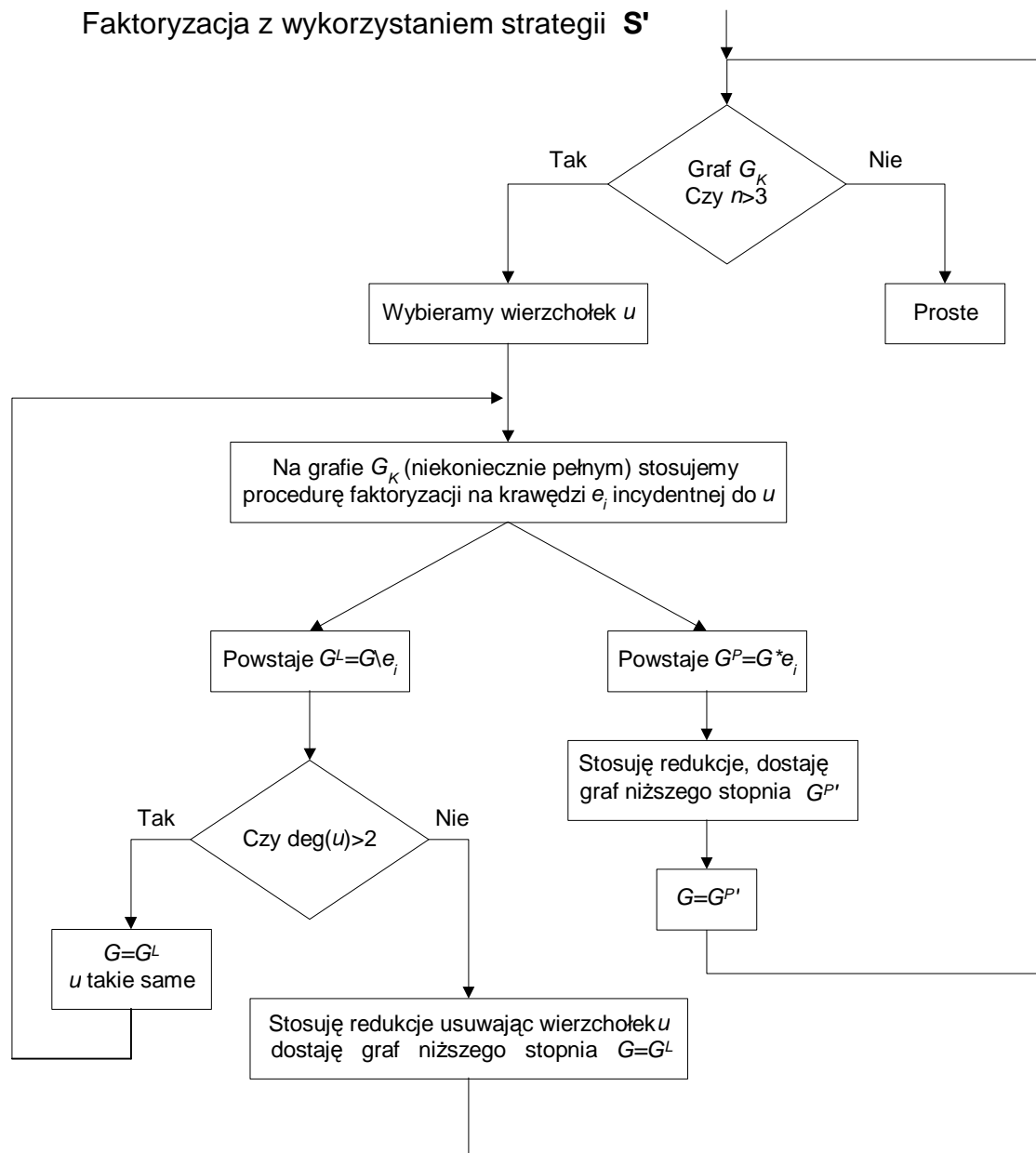
Chcąc oszacować złożoność czasową algorytmu faktoryzacji należy uwzględnić liczbę węzłów (liści) BDO, jak również złożoność czasową operacji dokonywanych w poszczególnych węzłach BDO, którą można oszacować przez  $O(b^2)$ .

### 2.2.1. niezawodność wszystkich terminali

Dla ułatwienia rozpatrzmy najpierw często rozważany przypadek obliczania niezawodności wszystkich terminali (tzn. gdy  $|K| = |V|$ ).

#### **Twierdzenie 2**

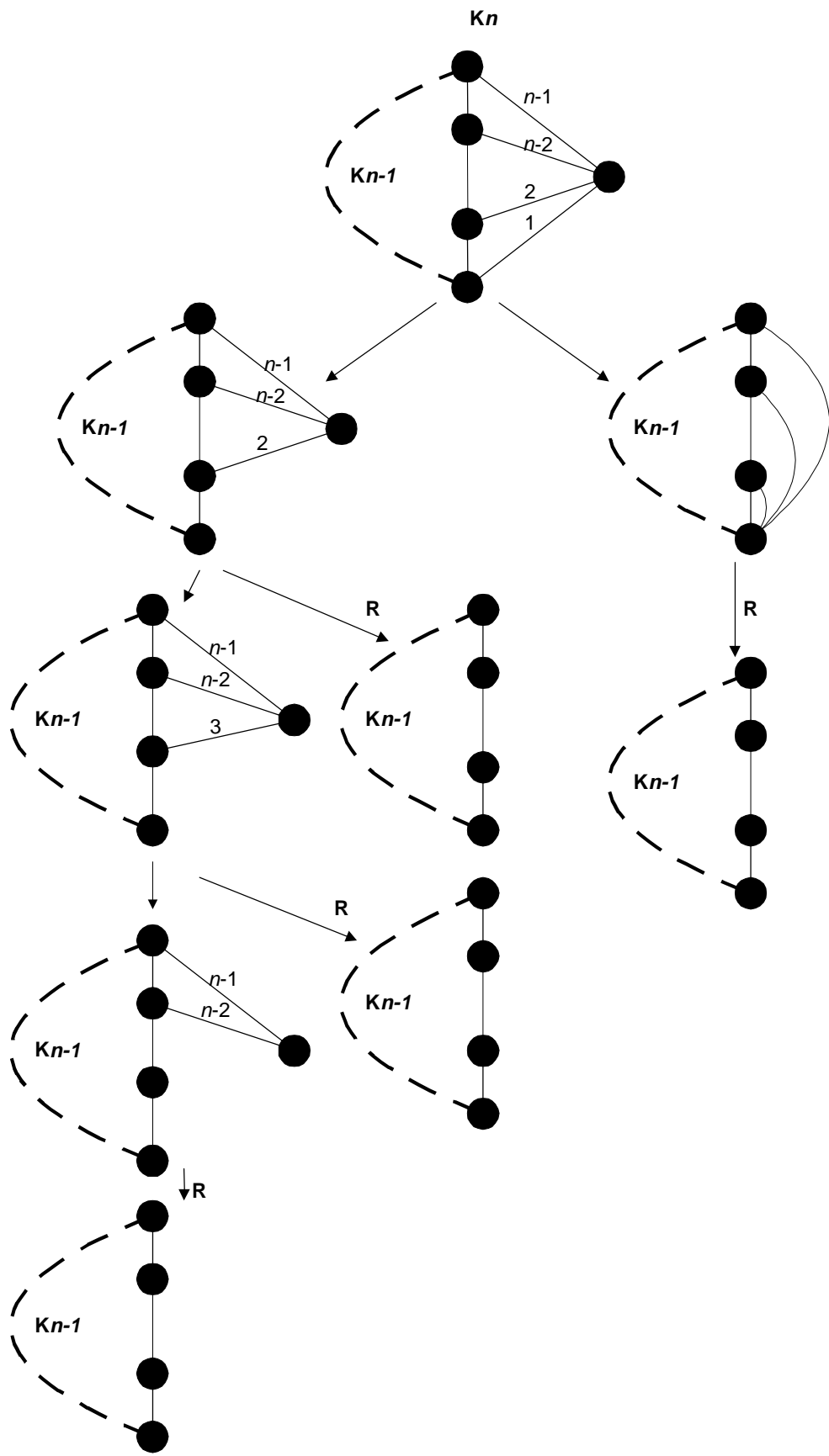
Liczba liści BDO algorytmu faktoryzacji, wykorzystującego zbiór redukcji  $\mathbf{R} = \{R0, R1, R2, R3\}$  oraz strategię  $\mathbf{S} = \mathbf{S}'$  (określoną na rysunku poniżej), przy rozwiązywaniu problemu niezawodności wszystkich terminali dowolnej sieci reprezentowanej poprzez graf  $G_V$ , spełnia zależność  $L(G_V) \leq (n-2)!$ , gdzie  $n$  jest liczbą wierzchołków (przy rozwiązywaniu problemu niezawodności wszystkich terminali redukcje R2 nie są używane).



**Rysunek 1. Faktoryzacja z wykorzystaniem strategii S' selekcji krawędzi grafu do faktoryzacji.**

Dowód:

W przypadku obliczania niezawodności wszystkich terminali sieci reprezentowanej przez graf pełny, fragment BDO algorytmu faktoryzacji przedstawiony jest na poniższym rysunku.



Rysunek 2. Fragment binarnego drzewa obliczeń algorytmu faktoryzacji ( $F_0, \{R_0, R_1, R_2, R_3\}, S'$ ) przy rozwiązywaniu problemu niezawodności wszystkich terminali sieci reprezentowanych przez graf pełny.

Wybieramy wierzchołek  $u$ , który ma  $n-1$  krawędzi incydentnych. Następnie  $n-3$  razy stosujemy formułę faktoryzacji. Otrzymujemy  $n-2$  węzłów BDO, w których występuje sieć  $K_{n-1}$ . Liczbę liści BDO algorytmu faktoryzacji można więc wyrazić rekurencyjnie:

$$L(K_n) = (n-2)L(K_{n-1})$$

$$L(K_1) = L(K_2) = L(K_3) = 1.$$

W efekcie liczba liści BDO algorytmu faktoryzacji ( $\mathbf{F}_0, \{R_0, R_1, R_2, R_3\}, \mathbf{S}'$ ) w przypadku obliczania niezawodności wszystkich terminali spełnia zależność  $L(G_V) \leq (n-2)!$  (redukcje  $R_2$  nie są używane).

c.n.d.

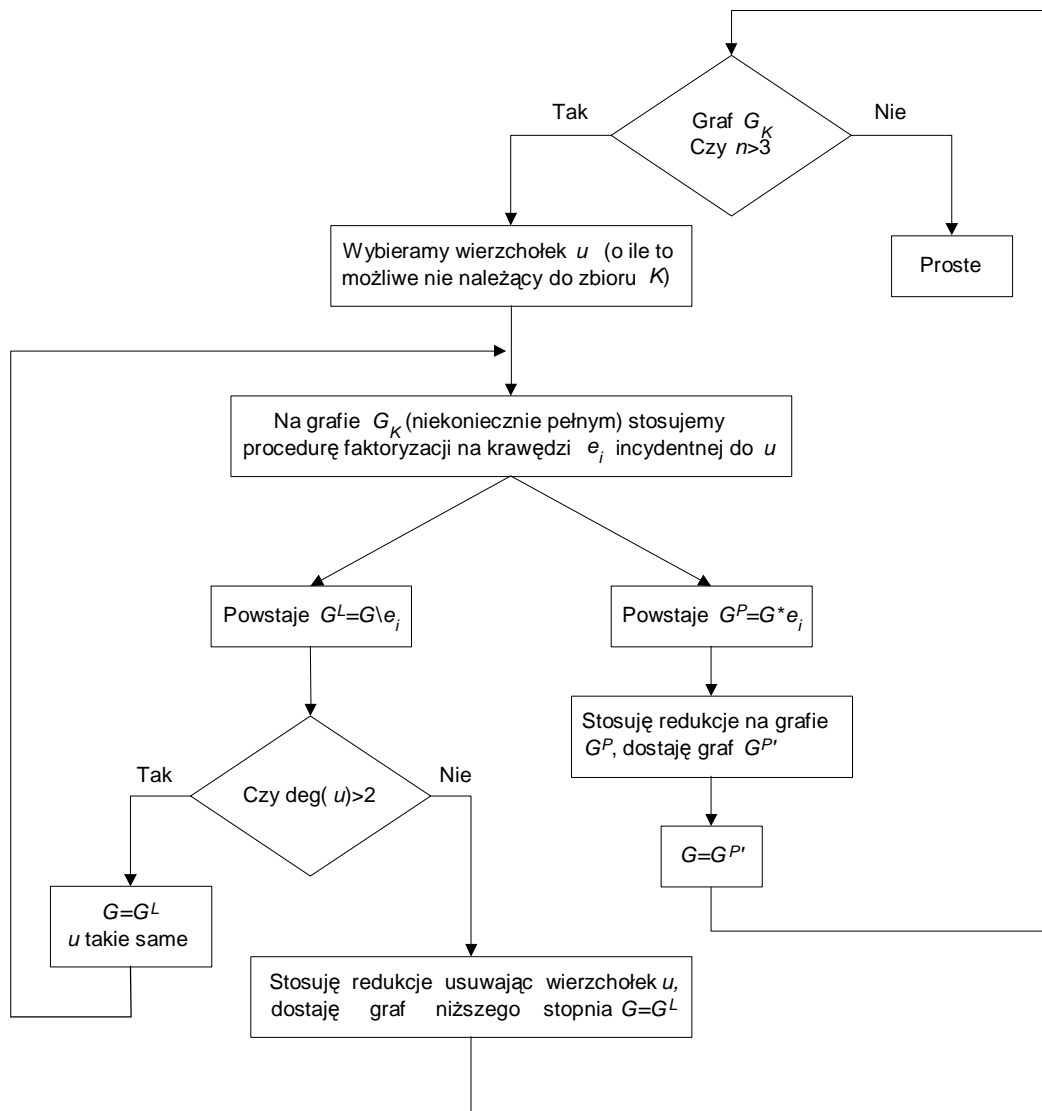
### 2.2.2. Niezawodność $K$ -terminali

W rozdziale tym uogólnimy rozpatrywany w poprzednim rozdziale przypadek tak, by dotyczył niezawodności  $K$ -terminali (gdy  $2 \leq |K| \leq |V|$ ), a nie tylko niezawodności wszystkich terminali ( $|K| = |V|$ ).

Modyfikując strategię  $\mathbf{S}'$  można uogólnić twierdzenie 2 na problem niezawodności  $K$ -terminali. Jeżeli nie wszystkie wierzchołki rozpatrywanego grafu należą do zbioru  $K$ , wystarczy w ramach stosowanej strategii selekcji krawędzi wybierać taki wierzchołek  $u$ , że  $u \notin K$ . Tak zmodyfikowaną strategię selekcji krawędzi  $\mathbf{S}''$  przedstawia poniższy rysunek.



## Faktoryzacja z wykorzystaniem strategii $S''$



**Rysunek 3. Faktoryzacja z wykorzystaniem strategii  $S''$  selekcji krawędzi grafu do faktoryzacji.**

Modyfikacja strategii selekcji krawędzi grafu do faktoryzacji umożliwia redukcję wierzchołków stopnia 2:

- za pomocą redukcji R2 w przypadku, gdy nie wszystkie wierzchołki grafu należą do zbioru  $K$  ;
- za pomocą redukcji R3 w przypadku, gdy wszystkie wierzchołki grafu należą do zbioru  $K$ .

Dzięki temu liczba liści BDO, a co za tym idzie również złożoność algorytmu  $Fact(\mathbf{F}_0, \{R0, R1, R2, R3\}, S'')$  w przypadku obliczania niezawodności  $K$ -terminali nie ulegnie zmianie w porównaniu do przypadku rozpatrywanego w twierdzeniu 2. Dlatego prawdziwe jest poniższe twierdzenie.

### Twierdzenie 3

Liczba liści BDO algorytmu faktoryzacji *Fact*, wykorzystującego zbiór redukcji  $\mathbf{R}=\{R0, R1, R2, R3\}$  oraz strategię  $\mathbf{S}''$  (określoną na rysunku powyżej), przy rozwiązywaniu problemu niezawodności  $K$ -terminali dowolnej sieci reprezentowanej poprzez graf  $G_K$  spełnia zależność  $L(G_K) \leq (n-2)!$ , gdzie  $n$  jest liczbą wierzchołków.

W rezultacie prawdziwe jest również poniższe twierdzenie.

### Twierdzenie 4

Pesymistyczna złożoność czasowa algorytmu faktoryzacji *Fact* ( $\mathbf{F}_0, \{R0, R1, R2, R3\}, \mathbf{S}''$ ), przy rozwiązywaniu problemu niezawodności  $K$ -terminali dowolnej sieci reprezentowanej poprzez graf  $G_K$  wynosi  $O(b^2((n-2)!))$ .

### 2.3. Złożoność pamięciowa algorytmu faktoryzacji

Rozmiar wymaganej pamięci można ogólnie oszacować poprzez iloczyn rozmiaru sieci  $|G|$  (t.j. zestawu danych, wykorzystanych głównie do reprezentacji sieci w pojedynczej instancji rekurencyjnej funkcji *Prob*) i głębokości rekurencji  $d(G_K)$ . Stąd zgrubnym pesymistycznym oszacowaniem złożoności pamięciowej algorytmów faktoryzacji jest  $O(b|G_K|)$ , gdzie  $b$  jest liczbą krawędzi grafu reprezentującego badaną sieć.

Pesymistyczną złożoność pamięciową algorytmu faktoryzacji można również, podobnie jak w przypadku złożoności czasowej, w prosty sposób analizować wykorzystując grafy pełne. Głębokość rekurencji przy rozwiązywaniu sieci reprezentowanych przez  $G_K$  nie będzie większa niż w przypadku grafu pełnego. Uzyskane w ten sposób oszacowania mogą być jednak (szczególnie w przypadku grafów rzadkich) gorsze od oszacowania  $O(b|G_K|)$ .

Jak można zaobserwować na rysunku 2. głębokość rekurencji algorytmu faktoryzacji, wykorzystującego zbiór redukcji  $\mathbf{R}=\{R0, R1, R2, R3\}$  oraz strategię  $\mathbf{S}'$  lub  $\mathbf{S}''$  w przypadku rozwiązywania problemu niezawodności  $K$ -terminali sieci reprezentowanej poprzez graf pełny  $K_n$  spełnia zależność  $d(K_n) = (n-3) + d(K_{n-1})$ . Stąd:

$$d(K_n) = \frac{1+(n-3)}{2}(n-3) = \frac{(n-2)(n-3)}{2} = \frac{n^2 - 5n + 6}{2} = \frac{n(n-1) - 4n + 6}{2} = b - 2n + 3.$$

### Twierdzenie 5

Głębokość rekurencji algorytmu faktoryzacji *Fact*, wykorzystującego zbiór redukcji  $\mathbf{R}=\{R0, R1, R2, R3\}$  oraz strategię  $\mathbf{S}''$ , przy rozwiązywaniu problemu niezawodności  $K$ -terminali dowolnej sieci reprezentowanej poprzez graf  $G_K$ , spełnia zależność  $d(G_K) \leq \frac{(n-2)(n-3)}{2}$ , gdzie  $n$  jest liczbą wierzchołków.

### Twierdzenie 6

Pesymistyczna złożoność pamięciowa algorytmu faktoryzacji *Fact* ( $\mathbf{F}_0, \{R0, R1, R2, R3\}, \mathbf{S}''$ ), przy rozwiązywaniu problemu niezawodności  $K$ -terminali dowolnej sieci reprezentowanej poprzez graf  $G_K$  wynosi  $O\left(\frac{(n-2)(n-3)}{2}|G_K|\right)$ .

## 3. Podsumowanie

Przedstawiony w tym rozdziale algorytm *Fact* ( $\mathbf{F}_0, \{R0, R1, R2, R3\}, \mathbf{S}''$ ) jest modyfikacją algorytmu faktoryzacji przedstawionego przez Page'a i Perry [3]. Dzięki zaproponowaniu nowej strategii  $\mathbf{S}''$  selekcji krawędzi do faktoryzacji, jak również nowej metody analizy pesymistycznej złożoności obliczeniowej algorytmu wykazano, że maksymalna liczba  $(|V|-2)!$  liści binarnego drzewa obliczeń algorytmu faktoryzacji jest osiągalna dla dowolnego zbioru  $K$  ( $2 \leq |K| \leq |V|$ ), a nie tylko dla przypadków granicznych, gdy  $2 \leq |K| \leq 5$  oraz  $|V|-2 \leq |K| \leq |V|$  (jak to ma miejsce w przypadku algorytmu analizowanego przez Wooda [11, 12]). Rezultat ten uzyskano przy prostszym niż zaproponowany przez Wooda zbiorze zachowujących niezawodność redukcji grafu  $\mathbf{R}=\{R0, R1, R2, R3\}$ . Nie ma bowiem konieczności uwzględniania najbardziej skomplikowanego<sup>4</sup> podzbioru redukcji  $R4$  (redukcji wielokąta do łańcucha). Również zaproponowana strategia selekcji krawędzi do faktoryzacji nie wymaga stosowania złożonych procedur testowania własności (np. dwuspójności) sieci występujących w poszczególnych węzłach BDO.

Zaprezentowana w tym rozdziale metoda analizy pesymistycznej złożoności obliczeniowej jest na tyle uniwersalna, że można ją również wykorzystać do analizy odmian algorytmu *Fact*, wykorzystujących różne zbiory zachowujących niezawodność redukcji grafów. Złożoność czasowa tych algorytmów nie była dotąd analizowana a uzyskane rezultaty

---

<sup>4</sup> Por. załącznik 1.

pomogą określić wpływ zastosowanych redukcji grafu na pesymistyczną złożoność obliczeniową algorytmów faktoryzacji.

## Literatura:

- [1] M. S. Choi, C. H. Jun, Some variants of polygon-to-chain reductions in evaluation reliability of undirected network, *Microelectron. Reliab.*, 1995(35), 1-11.
- [2] M. K. F. Lai, Polygon-to-chain reductions work for networks with imperfect vertices, *Microelectron. Reliab.*, 1994(34), 267-274.
- [3] L. B. Page, J. E. Perry, A practical implementation of the factoring theorem for network reliability, *IEEE Trans. Reliability*, 1988 (37) Aug, 259-267.
- [4] L. B. Page, J. E. Perry, Reliability of directed networks using the factoring theorem, *IEEE Trans. Reliability*, 1989 (38) Dec, 556-562.
- [5] M. G. C. Resende, A program for reliability evaluation of undirected networks via polygon-to-chain reductions, *IEEE Trans. Reliability*, 1986 (R-35) Apr, 24-29.
- [6] L. I. P. Resende, Implementation of factoring algorithm for reliability evaluation of undirected networks, *IEEE Trans. Reliability*, 1988 (37) Dec, 462-468.
- [7] A. Satyanarayana, R. K. Wood, *Polygon-to-chain reductions and network reliability*, Operations Research Center, University of California, Report ORC 82-4, 1982.
- [8] A. Satyanarayana, M. K. Chang, Network Reliability and the Factoring Theorem, *Networks*, 1983 (13), 107-120.
- [9] O. R. Theologou, J. G. Carlier, Factoring and Reductions for Networks with Imperfect Vertices, *IEEE Trans. Reliability*, 1991 (40), 210-217.
- [10] R. K. Wood, *Polygon-to-chain reductions and extensions for reliability evaluation of undirected networks*, PhD thesis, Dept. of Industrial Engineering and Operations Research, University of California, Berkeley, 1982.
- [11] R. K. Wood, A Factoring Algorithm Using Polygon-to-Chain Reductions for Computing  $K$ -Terminal Network Reliability, *Networks*, 1985 (15), 173-190.
- [12] R. K. Wood, Factoring Algorithms for Computing  $K$ -Terminal Network Reliability, *IEEE Trans. Reliability*, 1986 (R-35), 269-278.
- [13] R. K. Wood, Triconnected decomposition for computing  $K$ -terminal network reliability, *Networks*, 1989 (19), 203-220.

## Załącznik 1 – Zachowujące niezawodność redukcje grafu

Aby zredukować rozmiar badanych grafów, a co za tym idzie także rozmiar przestrzeni stanów rozpatrywanego problemu niezawodności  $K$ -terminali, czyli złożoność problemu, można zastosować zachowujące niezawodność redukcje grafu (*reliability preserving reductions*) ze zbioru  $\mathbf{R}$ . Redukcje te wymagają tylko wielomianowego czasu wykonania<sup>5</sup> zmniejszając wykładniczą przestrzeń stanów problemu. Redukcje zmieniają graf  $G_K$  topologicznie i probabilistycznie przekształcając go do postaci  $G'_K$ , tak, że:

$$R(G_K) = \Omega_1 + \Omega_2 R(G'_K). \quad (3)$$

$\Omega_1$  i  $\Omega_2$  są stałymi uzyskanymi wyłącznie z oryginalnego grafu  $G_K$ . Ta ogólna formuła jest często upraszczana do postaci, która zawiera jedynie stałą multiplikatywną  $\Omega = \Omega_2$ . Ponieważ większość redukcji wykorzystuje jedynie stałą multiplikatywną równanie (3) przyjmuje następującą postać:

$$R(G_K) = \Omega R(G'_K) \quad (4)$$

Poniżej zostaną przedstawione najczęściej wykorzystywane w praktyce redukcje grafu<sup>6</sup>. Przyjęto następujące oznaczenia wierzchołków na rysunkach opisujących redukcje:

- – wierzchołek grafu ze zbioru  $K$
- – wierzchołek grafu spoza zbioru  $K$
- ◐ – wierzchołek grafu, który może lecz nie musi należeć do zbioru  $K$

### R0 redukcja stopnia 1 (degree-1 reduction)

Jeśli  $e_i = (u, v)$  będzie krawędzią w grafie  $G_K$ , a wierzchołek  $v$  będzie stopnia jeden tzn.  $\deg(v) = 1$ , to wtedy:

$$G'_K = G_K * e_i = (V - u - v + w, E - e_i), \quad w = u \cup v,$$

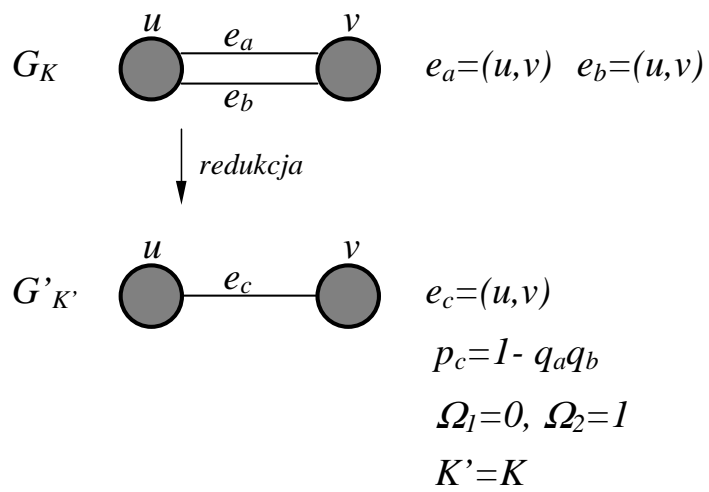
$$K' = \begin{cases} K & \text{jeżeli } u, v \notin K \\ K - u - v + w & \text{jeżeli } u \in K \text{ lub } v \in K. \end{cases}$$

$$\Omega_1 = 0, \Omega_2 = \begin{cases} 1 & \text{jeżeli } v \notin K \\ p_a & \text{jeżeli } v \in K \end{cases}$$

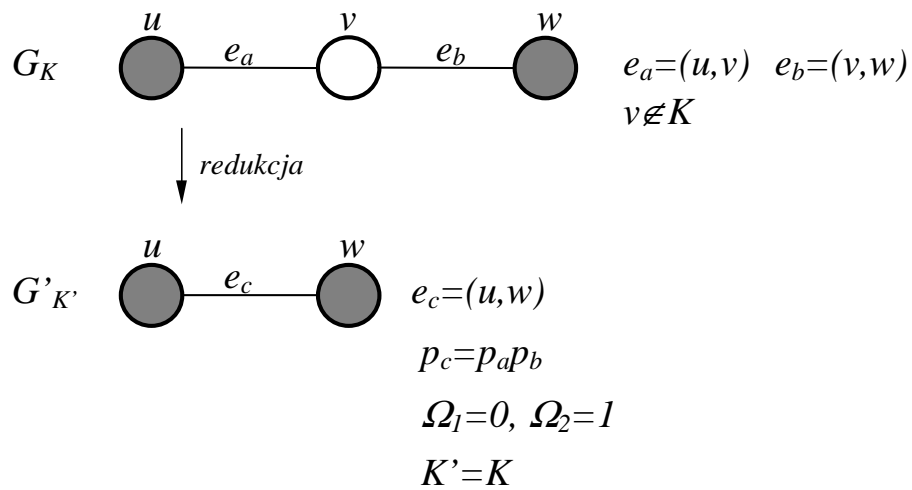
<sup>5</sup> Por. [11], s.175 i [8], s.114.

<sup>6</sup> Dokładne opisy redukcji można znaleźć także w pracy [12], s.272-273 oraz [11], s.177-178.

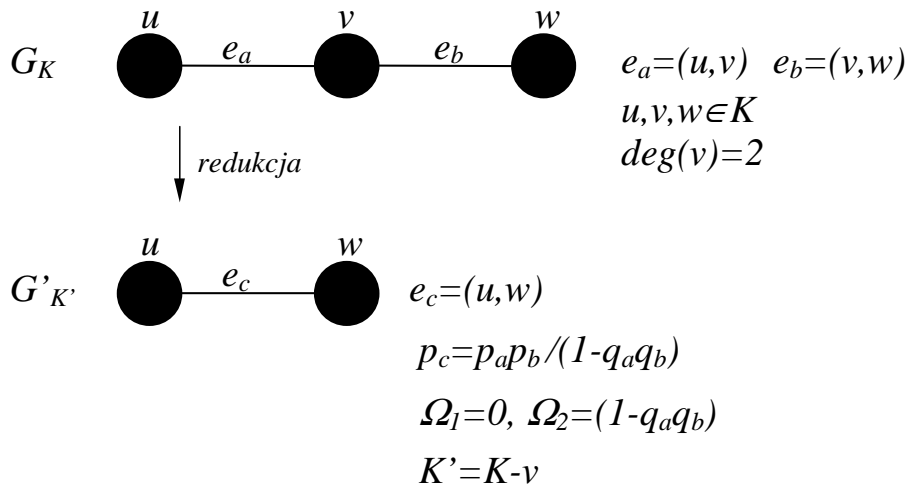
### R1 Redukcja równoległa (parallel reduction)



### R2 Redukcja szeregową (series reduction)



### R3 Redukcja stopnia 2 (degree-2 reduction)



### R4 Redukcja wielokąta do łańcucha (polygon-to-chain reduction)

Satyanarayana i Wood [7, 10, 11] zaproponowali redukcje R4, wielokąta do łańcucha (*polygon-to-chain reductions*). Jeżeli po zastosowaniu redukcji R1, R2, R3 graf zawiera wielokąt, to przybiera on jedną z siedmiu postaci i można go zastąpić przez łańcuch składający się z 1, 2 lub 3 krawędzi. Redukcje te mogą zmniejszyć wysiłek obliczeniowy wymagany do obliczenia niezawodności za pomocą algorytmu faktoryzacji. Poniższa tabela zawiera wszystkie siedem redukcji:

Wielokąt	Łańcuch	Nowe niezawodności łączy łańcucha	gdzie:
<p>(1)</p>		$p_r = \delta(\alpha + \delta)$	$\alpha = q_a p_b q_c$ $\beta = p_a q_b q_c$
<p>(2)</p>		$p_s = \delta(\beta + \delta)$ $\Omega_2 = (\alpha + \delta)(\beta + \delta) / \delta$	$\delta = p_a p_b p_c [1 + (q_a/p_a) + (q_b/p_b) + (q_c/p_c)]$
<p>(3)</p>		$\Omega_1 = 0$	$\alpha = p_a q_b q_c p_d + q_a p_b p_c q_d + q_a p_b q_c p_d$ $\beta = p_a q_b p_c q_d$ $\delta = p_a p_b p_c p_d [1 + (q_a/p_a) + (q_b/p_b) + (q_c/p_c) + (q_d/p_d)]$



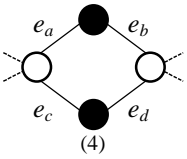
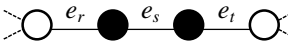
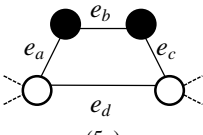
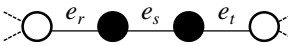
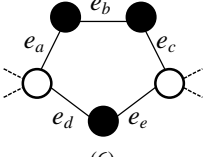
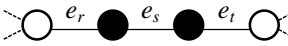
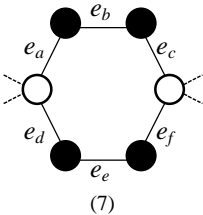
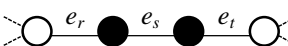
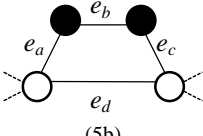
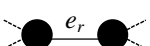
 <p>(4)</p>		$p_r = \gamma(\alpha + \gamma)$	$\alpha = q_a p_b q_c p_d$ $\beta = p_a q_b q_c p_d + q_a p_b p_c q_d$ $\delta = p_a q_b p_c q_d$ $\gamma = p_a p_b p_c p_d [1 + (q_a/p_a) + (q_b/p_b) + (q_c/p_c) + (q_d/p_d)]$
 <p>(5a)</p>	$ K  > 2$ 	$p_s = \gamma(\beta + \gamma)$	$\alpha = q_a p_b p_c q_d$ $\beta = p_a q_b p_c q_d$ $\delta = p_a p_b q_c q_d$ $\gamma = p_a p_b p_c p_d [1 + (q_a/p_a) + (q_b/p_b) + (q_c/p_c) + (q_d/p_d)]$
 <p>(6)</p>		$p_r = \gamma(\delta + \gamma)$	$\alpha = q_a p_b p_c q_d p_e$ $\beta = p_a q_b p_c (p_d q_e + q_d p_e) + p_b (q_a p_c p_d q_e + p_a q_c q_d p_e)$ $\delta = p_a p_b q_c p_d q_e$ $\gamma = p_a p_b p_c p_d p_e [1 + (q_a/p_a) + (q_b/p_b) + (q_c/p_c) + (q_d/p_d) + (q_e/p_e)]$
 <p>(7)</p>		$\Omega_2 = (\alpha + \gamma)(\beta + \gamma)(\delta + \gamma) / \gamma^2$ $\Omega_1 = 0$	$\alpha = q_a p_b p_c q_d p_e p_f$ $\beta = p_a q_b p_c (q_d p_e p_f + p_d q_e p_f + p_d p_e q_f) + p_a p_b q_c p_f (p_d q_e + q_d p_e) + q_a p_b p_c p_d (q_e p_f + p_e q_f)$ $\delta = p_a p_b q_c p_d p_e q_f$ $\gamma = p_a p_b p_c p_d p_e p_f [1 + (q_a/p_a) + (q_b/p_b) + (q_c/p_c) + (q_d/p_d) + (q_e/p_e) + (q_f/p_f)]$
 <p>(5b)</p>	$ K  = 2$ 	$p_r = (p_b + p_a q_b p_c p_d) / \Omega_2$ $\Omega_2 = p_b + p_a q_b p_c$ $\Omega_1 = 0$	$\alpha = q_a p_b p_c q_d$ $\beta = p_a q_b p_c q_d$ $\delta = p_a p_b q_c q_d$ $\gamma = p_a p_b p_c p_d [1 + (q_a/p_a) + (q_b/p_b) + (q_c/p_c) + (q_d/p_d)]$

Tabela 1 Redukcje wielokąta do łańcucha (polygon-to-chain reductions)